

تعیین موثرترین نگارهای پتروفیزیکی برای تعیین گونه‌های سنگی یک سازند مخزنی آواری با روش‌های خوشبندی

گلناز جوزانی کهن^{۱*}، علیرضا سیفان^۲

۱- استادیار، دانشکده مهندسی معدن، دانشگاه تهران

۲- دانش آموخته کارشناسی مهندسی معدن، دانشکده مهندسی معدن، دانشگاه تهران

(دریافت: فروردین ۱۳۹۸، پذیرش: دی ۱۳۹۸)

چکیده

تجزیه و تحلیل خوشه‌ای داده‌های پتروفیزیکی به عنوان روشی خودکار و سریع برای تعیین گروه‌های سنگی موجود در مخازن ماسه سنگی به کار می‌رود و از این رو در مطالعات تعیین کیفیت مخازن به عنوان یک روش کاربردی مورد استفاده قرار می‌گیرد. انتخاب نگارهای مناسب با توجه به نوع محیط مورد مطالعه، اهمیت ویژه‌ای در فرآیند خوشبندی، تعیین سنگ‌شناسی و نتیجه‌گیری در مورد کیفیت مخزن می‌یابد. در این پژوهش به منظور شناسایی و تعیین موثرترین نگارها در روش خوشبندی دو مرحله‌ای و میانگین k_L با استفاده از آنالیز حساسیت از میان کل نگارهای رانده شده در یک مخزن آواری GR, LLD, LLS, MSFL, DT, URAN, THOR, POTA, CALI, NPHI, RHOB در شمال شرق کشور یعنی نگارهای GR, LLD, LLS, NPHI, RHOB پنج نگار را به عنوان موثرترین نگارها در خوشبندی دو مرحله‌ای در این سازند معرفی نمود. نگارهای حاصل از کاربرد روش دو مرحله‌ای، همخوانی قابل قبولی با خروجی‌های روش میانگین k_L نشان داد. هر دو روش خوشبندی، تطابق قابل قبولی با روش‌های تعیین سنگ‌شناسی با استفاده از تلفیق نگارهای پتروفیزیکی و کانی‌شناسی به روش پراش پرتوی ایکس (XRD) نشان دادند. براساس نتایج خوشبندی، سازند ماسه سنگی مورد مطالعه به ضخامت ۲۲۲ متر به سه گروه سنگ‌شناسی شامل ماسه کربناتی-انیدریتی، ماسه شیلی و ماسه تمیز به ترتیب با ضخامت‌های $4\frac{1}{4}$, $4\frac{1}{4}\frac{3}{4}$, $7\frac{3}{4}$ و $10\frac{4}{4}$ متر تشخیص داده شد که در این میان کیفیت مخزنی ماسه تمیز با توجه به میانگین تخلخل در این بخش از سایر زیربخش‌ها مناسب‌تر است.

کلمات کلیدی

داده‌های چاه‌پیمایی، خوشبندی، سنگ‌شناسی

*عهده‌دار مکاتبات: gjkohan@ut.ac.ir

۱- مقدمه

مدل‌سازی سه بعدی رخساره‌های الکتریکی مخزن با استفاده از خوشبندی یکپارچه‌سازی و روش زمین آماری در یکی از میادین مرکزی خلیج فارس انجام شد و براساس نتایج، خوشبندی سلسه مراتبی بهترین پاسخ را فراهم نمود [۶]. روش خوشبندی برای تعیین رخساره‌های الکتریکی همراه با یک روش هوشمند ترکیبی مبتنی بر پیش‌بینی تخلخل و نفوذپذیری نیز در یکی از میادین گازی پارس جنوبی واقع در خلیج فارس به طور موفقیت آمیزی انجام شده است [۷]. محققان دیگری نیز با استفاده از الگوریتم بلوکینگ، اثرات نوفه‌های محیط چاه و اثر لایه‌های جانبی را از قرائت نمودارهای پتروفیزیکی برداشتند و سپس تغییرات ناگهانی این نمودارها را با استفاده از فیلتر لاپلاسین و روش خوشبندی به عنوان مرز لایه‌ها معرفی شده است [۸]. بررسی کارآیی استفاده از تبدیل موجک و روش خوشبندی اصلاح شده میانگین k در طبقه‌بندی سنگ‌شناسی مخزن با استفاده از نگار هسته‌ای نیز نشان داده است از این روش می‌توان در تعیین خودکار گونه‌های سنگی استفاده کرد [۹]. به طور کلی می‌توان گفت خوشبندی نگارهای پتروفیزیکی به روش میانگین k در تحقیقات بسیاری به طور موفقیت آمیزی قادر به جداسازی گونه‌های سنگی متفاوت از یکدیگر بوده است [۱۰-۱۱]. در یکی از اخیرترین تحقیقات انجام شده، شناخت سنگ‌شناسی مخزن با استفاده از روش بهبودیافته الگوریتم نزدیکترین همسایگی در یکی از میادین چین انجام شده است که به فهم بهتر ویژگی‌های مخزنی کمک شایانی نموده است [۱۲].

مسئله تعیین سنگ‌شناسی مخزن آواری شوریجه در منطقه شمال شرق کشور که سنگ مخزن میادین عظیم گازی و میادین مشترک مرزی ایران و ترکمنستان می‌باشد، تاکنون تنها با تلفیق نگارهای پتروفیزیکی در محیط نرم‌افزارهای متداول تحلیل داده‌های پتروفیزیکی انجام شده است. روش‌های خودکار خوشبندی برای شناخت بخش‌های مختلف این سازند به لحاظ سنگ‌شناسی که به صورت مخلوط ناهمگنی از ماسه‌سنگ، رس، کربنات و انیدریت در اعمق مختلف گزارش شده است، می‌تواند بسیار مفید باشد. شناخت دقیق اعمق مخزنی سازند شوریجه از لحاظ سنگ‌شناسی برای مطالعات مخزنی حائز اهمیت ویژه است. مطالعات پیشینی که بر روی این سازند انجام شده است تنها شامل مطالعه تخلخل

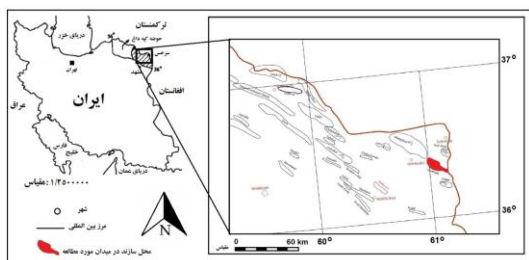
با توجه به اینکه سازندهای تخریبی مخزنی عمدتاً تمیز (بدون رس) نیستند و میان لایه‌های رسی در اعمق مختلف آن‌ها وجود دارند، تشخیص جنس طبقات مختلف با تلفیق کلیه نگارها با یکدیگر عملکرد مناسبی ندارد و نمی‌توان به درستی نوع گونه‌های مختلف سنگی را تشخیص داد [۱]. حضور انواع کانی‌های رسی در مقادیر متغیر موجب کاهش تخلخل و در نتیجه کاهش کیفیت مخزنی می‌شود. از سوی دیگر، وجود انواع رس‌ها، تفسیر برخی از نگارها از قبیل نوترون را با مشکل موadge می‌کند که این امر خود سبب ایجاد مشکلاتی در تعیین نوع جنس طبقات می‌شود. تشخیص اشتباه نوع سنگ‌های موجود با استفاده از نگارهای شاخص، سالانه سبب تحمیل هزینه‌های گزافی به صنایع بالادستی نفت می‌شود. شناسایی و انتخاب نگارهای مناسب در سازندهایی با حضور رس فراوان، می‌تواند در تشخیص صحیح انواع لایه‌بندی و تعیین سنگ‌شناسی کمک شایانی انجام دهد [۱-۲]. روش خوشبندی که یکی از روش‌های آمار چند متغیره است که در شناسایی نوع سازندها از لحاظ سنگ‌شناسی بسیار موفق عمل کرده است. این روش در سایر مسائل مطرح در مهندسی نفت نیز به کار رفته است [۲]. مثلاً با استفاده از تکنیک خوشبندی به روش میان مرکزی فازی به عنوان یک دیدگاه جهت تعیین گونه‌های سنگی در میدان گازی پارس جنوبی مطالعه ای انجام شده که در آن هر خوشبندی شده بر مبنای پارامترهای تخلخل و تراوایی به عنوان نماینده یک گونه سنگی در نظر گرفته شده است. همچنین در محیط مطلب برنامه‌ای نوشته شده است که بتواند تراوایی و گونه‌های سنگی تعریف شده به روش خوشبندی فازی از روی نمودارهای چاه‌پیمایی شناسایی نماید [۳]. همچنین برای تعیین رخساره‌های الکتریکی در یکی از سازندهای کربناته مخازن جنوب کشور از روش‌های خوشبندی چند متغیره استفاده شده است که اساس این روش‌ها، گروه‌بندی داده‌های مشابه و تمایز ساختن آنها از داده‌هایی بوده است که از نظر آماری با این گروه‌ها اختلاف دارند [۴]. در سال ۱۳۹۱ در مطالعه‌ای مقایسه رویکردهای خوشبندی هوشمند و آماری برای پیش‌بینی کل کربن آلی با استفاده از سیستم‌های هوشمند انجام شده است [۵].

مطالعه نیز به طور جداگانه مشخص شده است. جدول ۱ نیز توالي سازندهای مختلف در چاه مورد مطالعه به همراه ضخامت آنها را نشان می‌دهد. ترکیب سنگ‌شناسی و ستون چینه‌شناسی چاه برای آشنایی با واحدهای سنگ‌چینه‌ای زیرسطحی میدان در شکل ۲ نشان داده شده است.

جدول ۱: عمق و ضخامت حفاری شده واحدهای مختلف چینه‌شناسی در چاه مورد مطالعه [۱۶]

واحدهای سنگ‌شناسی (سازندها)	عمق از سطح (متر)	ضخامت دریا (متر)
لایه آبرفتی	۹۸	+۳۰۵
خانگیران	۹۴۰	+۲۱۵
چهل کمان	۲۱۹	-۷۲۵
پسته لیق	۱۱۳	-۹۴۴
کلات	۴۱	-۱۰۵۷
نیوار	۲۴۱	-۱۰۹۸
آب تلخ	۱۳۱	-۱۳۳۹
آب دراز	۴۱۵	-۱۴۷۰
آتمیمر	۴۵۷	-۱۸۸۵
سنگانه	۲۴۷	-۲۳۴۲
سرچشمه	۲۰۰	-۲۵۸۹
تیرگان	۲۳	-۲۷۸۹
شوریجه	۲۲۲	-۲۸۱۲
مزدوران	۱۳*	-۳۰۳۴
عمر نهائی		-۳۰۴۷

* عدد ذکر شده بیانگر میزان ضخامت حفاری شده این سازند است و نه ضخامت حقیقی آن.



شکل ۱: موقعیت جغرافیایی منطقه مورد مطالعه، اصلاح شده از [۱۷]

۱-۱- سازند شوریجه

نام این سازند از روستای شوریجه که در بخش شرقی دره کشفرود واقع است گرفته شده است. نخستین بررسی‌های زمین‌شناسی در ناحیه سرخس گسترش واحد سنگی سرخنگی را با رسوبات قاره‌ای در قاعده سنگ‌های رسوبی کرتاسه نشان داد. برش الگوی این واحد سنگی در

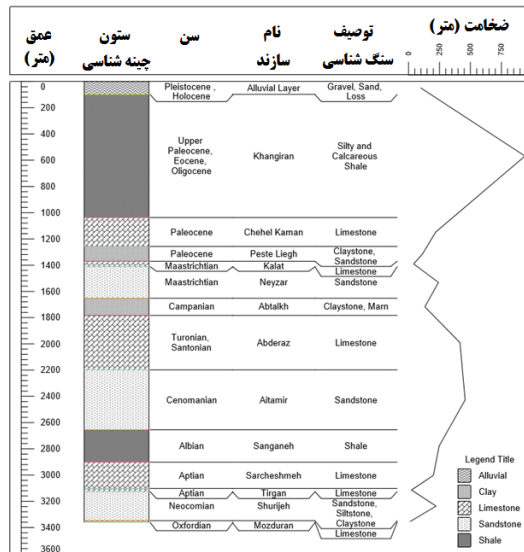
و همچنین سرعت امواج تراکمی و مقدار رس موجود در ماتریکس سنگ در عمق‌های مختلف بوده است [۱۳]. همچنین با به کارگیری آنالیز حساسیت روی سری کامل داده‌های پتروفیزیکی سازند مخزنی شوریجه به سن کرتاسه تحتانی و حجم رس حاصل از آنالیزهای آزمایشگاهی نمونه‌های مغزه این سازند در دو چاه تولیدی و خشک یکی از میدانین شرق حوزه رسوبی کپه داغ، ۷ رابطه پتروفیزیکی با استفاده از داده‌های ۶ نوع لاغ و ترکیب برخی از آنها، مورد بررسی قرار گرفته است. در پی این مطالعه، روش شاخص پرتوی گاما بهترین روش و تصحیح استیبلر بهترین تصحیح تخمین حجم رس در این سازند معرفی شده است [۱۴].

در این پژوهش، روش خوشبندی دو مرحله‌ای برای تعیین زیربخش‌های سازند شوریجه از لحاظ سنگ‌شناسی در یکی از چاههای تولیدی گاز شرق حوضه رسوبی کپه داغ مورد استفاده قرار گرفت و نگارهای مناسب برای تشخیص سنگ‌شناسی به دقت تعیین شد. نتایج حاصل با اجرای روش میانگین K مقایسه شد و ضخامت زیربخش‌های مختلف محاسبه شد و مناسب ترین زیربخش به لحاظ کیفیت مخزنی معرفی شد.

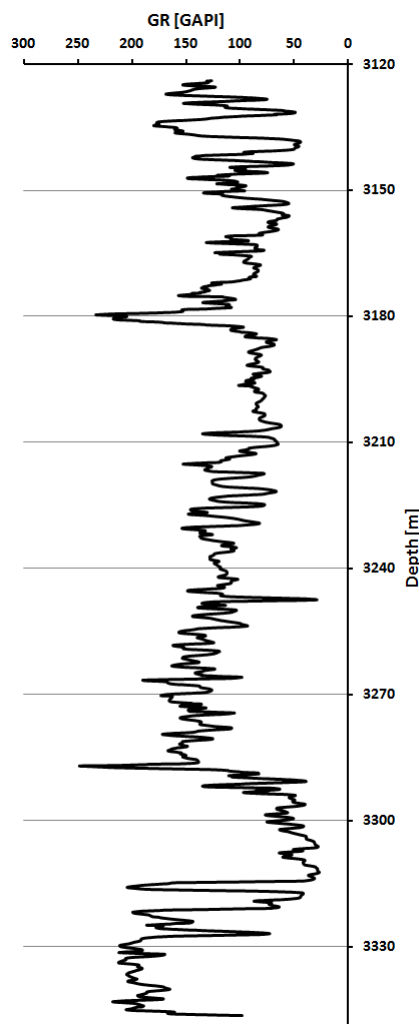
۲- موقعیت زمین‌شناسی

پهنه رسوبی-ساختاری کپه داغ در شمال خاور ایران واقع شده است. این پهنه، بخش‌هایی از ترکمنستان و شمال افغانستان را نیز در بر می‌گیرد. اکتشاف میدان‌های گازی در هر سه کشور واقع در این حوضه و موقعیت و جایگاه زمین‌ساختی آن در فصل مشترک دو ابرقاره اوراسیا و گندوانا، از ویژگی‌های مهم این ناحیه به شمار می‌آید. بخش ایرانی حوضه کپه داغ " منطقه کپه داغ " نامیده شده است بین ۳۰° ، ۳۰° تا ۳۵° عرض شمالی و ۵۴° ، ۵۰° تا ۶۱° طول شرقی قرار دارد. حوضه کپه داغ، یک حوضه درون قاره‌ای از نوع پشت کمانی در جنوب سکوی توران است که پس از کوه‌زایی سیمیرین پیشین و بسته شدن پالئوتیس در شمال خاوری ایران تشکیل شده است. سازند شوریجه یکی از مخازن گازی در خاور حوضه کپه داغ است [۱۵].

در شکل ۱ موقعیت جغرافیایی حوضه رسوبی کپه داغ نشان داده شده است و همچنین موقعیت منطقه مورد



شکل ۲: ستون چینه‌شناسی چاه مورد مطالعه



شکل ۳: نمودار تغییرات پرتوزایی در سازند مورد مطالعه، انحراف نمودار به سمت چپ بخش‌های شیلی را نشان می‌دهد.

تنگه جنوب روستای شوریجه اندازه‌گیری، مطالعه و معرفی شده است. مطالعات بعدی روشن ساخت که سنگ‌های آواری این برش را دو گروه متفاوت تشکیل داده‌اند. همچنین به بیانی دیگر می‌توان گفت، این سازند از رسوبات قاره‌ای قرمزنگ (ماسه‌سنگ، سیلت‌ستون و رس) به سن نئوکومین تشکیل یافته که آن را می‌توان از بالا به پایین به بخش‌های زیر تقسیم نمود [۱۶]:

بخش E: شامل لایه‌هایی از سنگ رس و سیلت به رنگ قرمز و قهوه‌ای شکلاتی و حاوی دانه‌های انیدریت، به همراه لایه‌های بسیار نازکی از ماسه‌سنگ دانه‌ریز به رنگ قرمز قهوه‌ای و به رنگ خاکستری حاوی گلوکونیت و اکسیدهای آهن در این بخش مشاهده می‌شود. این بخش احتمالاً می‌تواند نقش سنگ پوشش را برای لایه‌های ماسه‌سنگی زیرین خود ایفا کند. بخش D: این بخش شامل زیربخش‌های D₁ و D₂ می‌باشد. بخش فوقانی (D₂) از لایه ماسه‌سنگی دانه ریز تا متوسط قرمز قهوه‌ای و خاکستری روشن با سیمان آهکی حاوی گلوکونیت و اکسیدهای آهن به همراه تناوبی از لایه‌های سنگ رس و سیلت قرمز قهوه‌ای تشکیل یافته است. بخش تحتانی (D₁) از لایه‌هایی از ماسه‌سنگ به رنگ خاکستری روشن و سبز خاکستری دانه متوسط تا درشت، کوارتزیتی و گلوکونیتی و نیز لایه‌های ماسه‌سنگ دانه ریز تا متوسط قرمز قهوه‌ای و کوارتزیتی حاوی اکسیدهای آهن تشکیل شده است که گاه‌گاه تناوبی از لایه‌های رس و سیلت قرمز قهوه‌ای و خاکستری روشن در آن دیده می‌شود. بخش C: که عمدتاً از سنگ رس و سیلت به همراه لایه‌هایی از ماسه‌سنگ و یکی دو لایه انیدریت نازک تشکیل یافته است. بخش B: این بخش شامل ماسه‌سنگ‌های قهوه‌ای، قهوه‌ای کمرنگ و سفید، متوسط تا درشت دانه‌ها گاهی کونگلومراپی، کوارتزیتی و لایه‌های نازکی از سنگ رس و سیلت تشکیل یافته که در تاقدیس خانگیران این بخش حاوی گاز می‌باشد. بخش A: این بخش عمدتاً از سنگ رس و سیلت قرمز رنگ تشکیل یافته است [۱۶].

شکل ۳ نحوه تغییرات نمودار پرتو گاما بر حسب عمق را در این سازند نشان می‌دهد که بیانگر محیطی تخریبی با حضور شیل فراوان است.

چاههای تولیدی میادین شرق که داغ مورد استفاده قرار گرفت. ۳ نمونه مغزه نیز جهت اعتبارسنجی نتایج مورد آنالیز به روش پراش پرتوی ایکس (XRD) قرار گرفت. خلاصه اطلاعات آماری پارامترهای یاد شده در جدول ۲ داده شده است.

۳- مواد و روش‌ها

در این پژوهش نگارهای GR, LLD, LLS, MSFL, DT, URAN, THOR, POTA, CALI, NPHI, RHOB همراه با ۶۳ داده تخلخل مغزه آزمایشگاهی در اعماق حدوداً ۳ تا ۳/۵ کیلومتری سازند شوریجه در یکی از

جدول ۲: خلاصه اطلاعات آماری داده‌های مورد استفاده در پژوهش

نام نگار/ واحد اندازه‌گیری	کمبینه	بیشینه	میانگین	میانه	مد	انحراف معیار	تعداد داده‌ها
GR [GAPI]	۲۶/۲۷	۲۴۷/۷۳	۱۱۳/۴۴	۱۱۱/۵۴	۱۲۵/۲۹	۴۴/۹۹	۲۲۲۵
LLD [ohmm]	۰/۶۳	۱۰۷/۴۵	۱۴/۷۲	۱۲/۵۴	۱۶/۶۶	۱۱/۳۱	۲۲۲۵
LLS [ohmm]	۰/۶۴	۶۳/۲۵	۱۲/۶۳	۱۰/۸۶	۱۸/۲۵	۹/۲۲	۲۲۲۵
MSFL [ohmm]	۰/۱۹	۴/۹۰	۰/۴۰	۰/۳۳	۰/۲۸	۰/۳۵	۲۲۲۵
DT [US/F]	۵۲/۲۷	۹۳/۰۶	۶۴/۵۱	۶۳/۵۵	۵۹/۶۰	۵/۷۵	۲۲۲۵
POTA [%]	۰/۴۳	۴/۴۱	۲/۴۲	۲/۴۴	۲/۴۴	۰/۸۳	۲۲۲۵
THOR [ppm]	۱/۳۴	۱۴/۸۰	۶/۶۵	۵/۹۸	۳/۶۲	۳/۴۷	۲۲۲۵
URAN [ppm]	۰/۰۸	۹/۵۳	۱/۱۴	۱/۰۱	۰/۶۳	۰/۹۱	۲۲۲۵
CALI [inch]	۱۱/۷۲	۲۰/۰۰	۱۳/۰۹	۱۲/۴۷	۱۲/۲۷	۱/۵۰	۲۲۲۵
NPHI [V/V]	۰/۰۵	۰/۲۷	۰/۱۰	۰/۰۹	۰/۰۸	۰/۰۵	۲۲۲۵
RHOB [g/cm ³]	۱/۹۵	۲/۹۳	۲/۵۴	۲/۶۰	۱/۹۵	۰/۲۰	۲۲۲۵
(V/V)	۱/۴۰	۱۲/۲۰	۵/۲۸	۳/۲۰	۲/۳۰	۳/۶۲	۶۳
تخلخل مغزه							

در این روش با استفاده از الگوریتم تحلیل خوشه مقیاس‌پذیر، با مجموعه داده‌های بسیار بزرگ سر و کار داریم. تحلیل خوشه دو مرحله‌ای هم برای متغیرهای پیوسته (فاصله‌ای و نسبی) و هم برای متغیرهای طبقه‌بندی شده (اسمی و ترتیبی) به کار می‌رود. در این روش، در گام اول، که به مرحله پیش خوشه معروف است، رکوردها (مشاهدات) را به چندین خردۀ خوشه بسیار کوچک تبدیل می‌کنیم. سپس، در گام دوم، این خورده خوشه‌هارا به تعداد خوشه مطلوب طبقه‌بندی می‌کنیم. یکی از مزیت‌های این روش این است که اگر تعداد خوشه‌های مطلوب برای ما ناشناخته است و نمی‌دانیم چه تعداد خوشه برای ما مطلوب است، خود روش خوشه دو مرحله‌ای به طور خودکار تعداد مناسب و مطلوب این خوشه هارا پیدا می‌کند. با استفاده از این روش، می‌توانیم طوری داده‌ها را گروه‌بندی کنیم که رکوردهای داخل هر گروه مشابه هم باشند. به عنوان تحلیل خوشه دو مرحله‌ای صحیح ترین شناسایی را از خوشه‌ها ارائه می‌دهد. با استفاده از این روش می‌توان خوشه‌هارا در مجموعه بزرگی از داده‌ها و همچنین مجموعه داده‌های ترکیبی با مقیاس‌های مختلف فاصله‌ای و ترتیبی پیدا کرد. در این روش، می‌توانیم تعداد خوشه‌هارا

۳-۱- روش خوشه بندی

تحلیل خوشه را می‌توان همراه با روش تحلیل تشخیصی، به عنوان یکی از متدائل‌ترین روش‌های طبقه‌بندی نامید. هدف اصلی تحلیل خوشه که به عنوان تحلیل بخش‌بندی یا تحلیل تاکسونومی/طبقه‌بندی نیز خوانده می‌شود، این است که زیرگروه‌های همگن از پاسخگویان را شناسایی کند. تحلیل خوشه در صدد است تا بر اساس اطلاعاتی در خصوص یک سری متغیرها، پاسخگویان را با توجه به آن‌ها گروه‌بندی کند. به عبارتی، تحلیل خوشه در صدد است تا مجموعه‌ای از گروه‌ها را شناسایی کند که از این طریق بتوان از یک طرف تفاوت‌های درون‌گروهی را به حداقل رساند و از طرف دیگر تفاوت‌های بین‌گروهی را به حداقل رساند. البته روش‌های تحلیل طبقات پنهان و تحلیل عاملی نیز چنین کارکردهایی دارند، یعنی به خوشه‌بندی پاسخگویان و یا متغیرها می‌پردازند [۱۸].

۳-۱-۱-۳ خوشه‌بندی با استفاده از روش دو مرحله‌ای (Two steps)

روش‌های خوشبندی آمده شد. در ابتدا خوشبندی دو مرحله‌ای با ۱۱ نگار موجود انجام گرفت که نتایج آن که در جدول ۳ آورده شده است. بر مبنای این نتایج، روش دو مرحله‌ای پنج خوشه را برای خوشبندی این داده‌ها مناسب می‌داند. اما چون کیفیت خوشبندی در این حالت مناسب نیست (شکل ۴)، با انجام تحلیل حساسیت (شکل ۵)، برخی از نگارهایی که بازده خوشبندی دو مرحله‌ای را کاهش می‌دادند، شناسایی و حذف شد و نهایتاً نگارهای مناسب (GR, LLD, LLS, NPHI, RHOB) در مرحله بعد جهت انجام مجدد خوشبندی دو مرحله‌ای مورد استفاده قرار گرفت. در تحلیل نگارهای به دست آمده از آنالیز حساسیت می‌توان گفت به طور کلی در سازندهای تخریبی حاوی کانی‌های رسی مانند سازند شوریجه، دیواره چاه سست است و اغلب در حین انجام عملیات حفاری دیواره چاه ریزش پیدا می‌کند. در نتیجه داده‌های مربوط به نگار CALI به دلیل دامنه تغییرات زیاد و همبستگی بالا با میزان کانی‌های رسی که عمدتاً کاهش‌دهنده تخلخل چاه هستند، نمی‌تواند به خوشبندی داده‌ها بر مبنای داده‌های تخلخل مغزه کمک آنچنانی نماید. نگار ریز مقاومت کانونی (MSFL) نیز که وظیفه‌ی تعیین مقاومت زون رخنه را دارد، عملکرد مناسبی را در این زمینه ندارد. به دلیل نفوذ گل حفاری به دیواره چاه، این نگار عملاً مقاومت ویژه گل حفاری را نمایش می‌دهد؛ که برای ایجاد تفاوت برای خوشبندی مناسب، مفید نیست. با توجه به اینکه سازند مورد مطالعه سازند تخریبی است و شیل و مارن در همه‌ی نواحی آن به طور پراکنده حضور دارد، پر شدن فضاهای خالی توسط رس موجب برهم خوردن اختلاف زمان ثبت شده می‌شود که خود سبب کاهش کیفیت خوشبندی به روش دو مرحله‌ای است. نگارهای K, URAN, THOR به صورت جداگانه برای تفکیک سنگ‌شناسی با استفاده از داده‌های تخلخل مغزه، روش خوشبندی دو مرحله‌ای مناسب نبودند. چرا که این سه عنصر عمدتاً با میزان رس موجود همبستگی دارند و مستقیماً با تخلخل ارتباطی ندارند؛ که این امر سبب پایین آمدن بازده خوشبندی بر مبنای داده‌های تخلخل آزمایشگاهی می‌شوند.

از قبل مشخص کنیم و یا اینکه الگوریتمی داشته باشیم که به طور خودکار قادر است تعداد مناسب خوشه را شناسایی کند. در این روش، ابتدا در مرحله اول، هر پاسخگو به عنوان یک خوشه قلمداد می‌شود. سپس در مرحله دوم، با استفاده از روش تحلیل خوشه سلسله مراتبی استاندارد، پاسخگویان در این خوشه‌هایی که از قبل مشخص شده‌اند، طبقه‌بندی می‌شوند [۱۸].

۲-۱-۳- خوشبندی با استفاده از روش چند میانگینی (k-means)

خوشبندی با استفاده از روش چند میانگینی برای داده‌های بسیار بزرگ به کار می‌رود. در این روش فرض بر آن است که داده‌ها به یک تعداد خوشه مشخص و شناخته شده طبقه‌بندی می‌شوند. بنابراین، با چنین فرضی (مشخص بودن تعداد خوشه‌ها)، این روش پاسخگویان را به چندین خوشه طبقه‌بندی می‌کند. برای طبقه‌بندی پاسخگویان، می‌توانیم به دو روش عمل کنیم: ۱) از طریق به روز کردن مراکز خوشه به صورت مکرر و ۲) از طریق طبقه‌بندی صرف. روش تحلیل خوشه چند میانگینی، برای تعیین فاصله بین دو پاسخگو، از روش فاصله اقلیدسی استفاده می‌کند. در این روش، مراکز اولیه داده‌ها در گذر اول بر روی داده‌ها انتخاب می‌شوند. سپس، هر کدام از مشاهدات تکراری گروه‌ها بر اساس روش نزدیکترین فاصله اقلیدسی به میانگین خوشه، به آن خوشه اضافه می‌شوند. از طرفی، محقق باید در حین پیشرفت، تعداد مطلوب خوشه خود (K) را مشخص کند. بنابراین، مراکز خوشه در طی هر مرحله از پیشرفت، تغییر می‌کنند. این فرآیند همین طور ادامه می‌یابد تا جایی که میانگین خوشه‌ها بیش از یک مقدار مشخص تغییر نکند و یا این که به آن حد تکرار رسیده باشیم [۱۸].

این دو روش به ترتیب روی داده‌های پتروفیزیکی سازند شوریجه در یکی از چاههای تولیدی میادین شرق کپه داغ اجرا شد.

۴- نتایج و بحث

داده‌های معرفی شده در بخش مواد و روش‌ها پس از انجام تصحیحات و پیش‌پردازش‌های آماری برای انجام انواع

جدول ۳: نتایج حاصل از خوشبندی دومرحله‌ای با ۱۱ لاغ

	CALI		DT		GR	
	میانگین	انحراف معیار	میانگین	انحراف معیار	میانگین	انحراف معیار
خوش	۱	۱۳/۷۰	۱/۶۷	۵۳/۱۳	۲/۴۳	۳۳/۴۳
	۲	۱۲/۵۹	۰/۴۴	۵۹/۴۴	۲/۵۱	۶۴/۵۱
	۳	۱۵/۸۳	۱/۷۴	۶۳/۵۴	۲/۷۴	۵۴/۲۷
	۴	۱۲/۵۴	۰/۴۳	۶۵/۷۰	۲/۹۳	۹۵/۴۱
	۵	۱۲/۵۰	۰/۶۵	۶۷/۰۸	۷/۸۹	۴۲/۸۶
	ترکیبی	۱۳/۰۸	۱/۴۸	۶۴/۲۵	۵/۹۱	۶۴/۷۴
خوش	MSFL		NPHI		POTA	
	میانگین	انحراف معیار	میانگین	انحراف معیار	میانگین	انحراف معیار
	۱	۱/۸۰	۳/۵۶	۰/۰۵	۰/۰۴	۱/۵
	۲	۰/۳۸	۰/۲۱	۰/۰۷	۰/۰۳	۲/۴
	۳	۰/۵۰	۰/۶۹	۰/۰۹	۰/۰۵	۲/۲
	۴	۰/۳۸	۰/۱۷	۰/۱۵	۰/۰۵	۳/۲
خوش	۵	۰/۳۵	۰/۱۲	۰/۰۸	۰/۰۴	۱/۸
	ترکیبی	۰/۴۱	۰/۵۷	۰/۱۰	۰/۰۶	۲/۴
خوش	RHOB		THOR		URAN	
	میانگین	انحراف معیار	میانگین	انحراف معیار	میانگین	انحراف معیار
	۱	۲/۷۰	۰/۱۵	۳/۷۹	۲/۰۲	۱/۰۷
	۲	۲/۷۱	۰/۰۷	۶/۷۵	۱/۹۶	۱/۲۵
	۳	۲/۲۱	۰/۱۷	۵/۳۳	۲/۴۳	۱/۲۱
	۴	۲/۶۷	۰/۰۸	۱۰/۶۵	۲/۴۴	۱/۴۸
خوش	۵	۲/۴۸	۰/۱۱	۳/۵۲	۱/۰۴	۰/۶۷
	ترکیبی	۲/۵۵	۰/۲۰	۶/۶۲	۳/۴۹	۱/۱۳

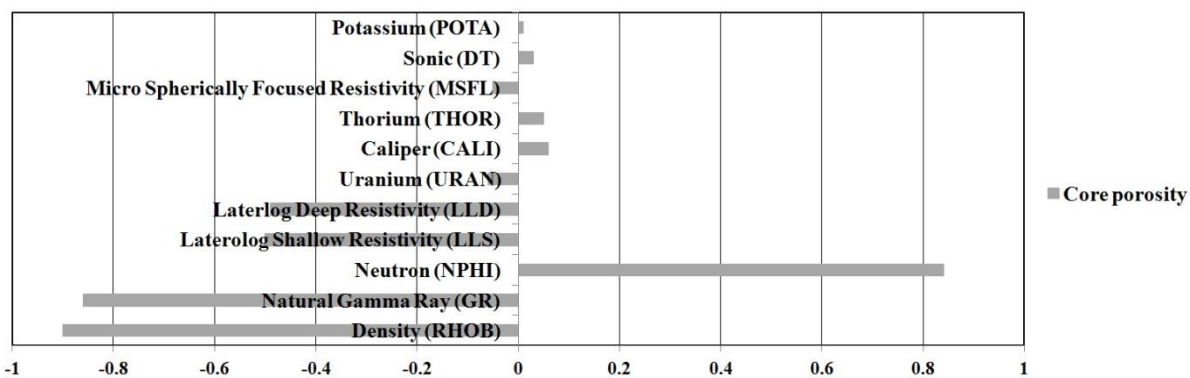
جادگانه در تعیین گونه‌های سنگی این سازند موثر نیستند. نتیجه این خوشبندی، طبقه‌بندی داده‌ها در سه خوش است، که مراکز این خوش‌ها در جدول ۴ و نحوه توزیع داده‌ها در جدول ۶ نشان داده شده است. خوش شماره یک: حدود ۲۰٪ داده‌ها (جدول ۶) در این خوش قرار دارند که تخلخل کم و مقاومت بالای آن، نشان از حضور ترکیبی متراکم و سخت دارد. همچنین لاغ RHOB محدوده چگالی را شامل می‌شود؛ که در آن کربنات‌ها و اندیزیت قرار دارند. از طرفی لاغ GR با میزان متواتسطی که نسبت به خوش‌های دیگر از خود نشان می‌دهد این مطلب را بیان می‌کند که رس در این خوش به طور متواتسط نسبت به خوش‌های دیگر حضور دارد. پس به طور کلی می‌توان گفت جنس این خوش ماسه همراه با میزان متواتسطی از رس به علاوه کربنات (کلسیت و دولومیت) و اندیزیت است. ضخامت این بخش به طور تقریبی ۴۴/۴۰ متر است.

نهایتاً، عمل خوشبندی با نگارهای GR, LLD, LLS, NPHI, RHOB انجام شد (جدول ۴)، که بالاترین کیفیت خوشبندی داده‌ها به روش دومرحله‌ای در این حالت به دست آمد (شکل ۵). در گام بعدی برای اطمینان از صحت نتایج بدست آمده، داده‌ها با استفاده از روش میانگین k خوشبندی شد و جدول ANOVA مورد تحلیل قرار گرفت. نتایج جدول ANOVA نشان می‌دهد که کدام متغیرها بیشترین نقش را در خوشبندی دارند. همانطور که می‌دانیم در تحلیل آنالیز واریانس، هرچه مقدار F برای متغیری بزرگ‌تر باشد، آن متغیر نقش بیشتری در جداسازی خوش‌ها از یکدیگر دارد. طبق داده‌های جدول ۵ و شکل ۷، نگارهای GR, LLD, LLS مقدار F بالایی داشتند که بیان‌کننده نقش بیشتر آنها در خوشبندی به روش میانگین k می‌باشد. نکته قابل توجه بالا بودن ضریب THOR و POTA بود؛ که همانطور که گفته شد این نگارها اگر چه نقش زیادی در خوشبندی دارند، اما به صورت

Algorithm	TwoStep
Inputs	11
Clusters	5



شکل ۴: کیفیت خوشبندی دو مرحله‌ای با استفاده از یازده نگار، تعداد خوشبندی: ۵



شکل ۵: آنالیز حساسیت جهت تعیین نگارهای موثر در بهبود خوشبندی

جدول ۴: نتایج حاصل از خوشبندی دو مرحله‌ای با ۵ لاغ

	GR		LLD		LLS	
	میانگین	انحراف معیار	میانگین	انحراف معیار	میانگین	انحراف معیار
خوشبندی	۱	۶۲/۲۶	۱۴/۶۸	۳۳/۱۴	۲۴/۵۲	۲۹/۱۵
	۲	۹۴/۴۹	۱۷/۲۱	۱۳/۴۴	۳/۶۰	۱۲/۸۱
	۳	۴۵/۵۸	۱۵/۲۴	۹/۹۹	۸/۰۷	۷/۱۹
	ترکیبی	۶۴/۸۸	۲۶/۷۵	۱۵/۶۸	۱۵/۱۹	۱۳/۳۶
NPHI						
خوشبندی	میانگین	انحراف معیار	میانگین	انحراف معیار	میانگین	انحراف معیار
	۱	۰/۰۷	۰/۰۳	۲/۷۲	۰/۰۷	
	۲	۰/۱۵	۰/۰۴	۲/۳۹	۰/۰۹	
	۳	۰/۰۸	۰/۰۴	۲/۶۷	۰/۱۸	
خوشبندی	ترکیبی	۰/۱۰	۰/۰۶	۲/۵۵	۰/۲۰	

Algorithm	TwoStep
Inputs	5
Clusters	3



شکل ۶: کیفیت خوشبندی دو مرحله‌ای با استفاده از پنج نگار، تعداد خوشبندی: ۳

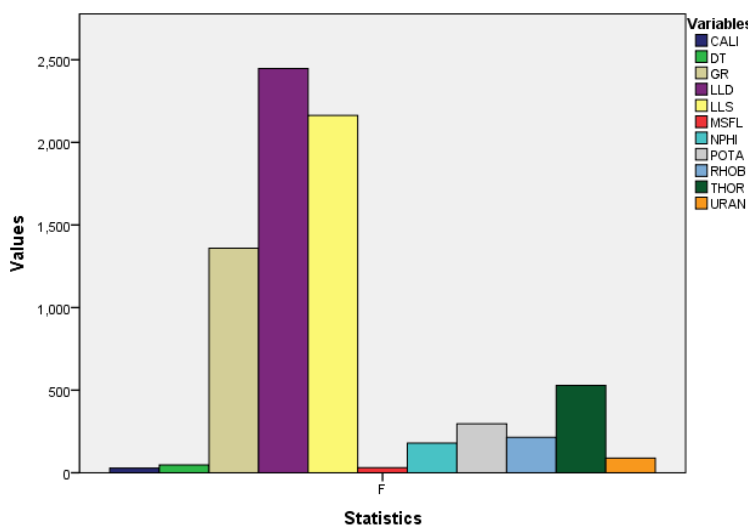
جدول ۵: تحلیل واریانس خوشبندی به روش میانگین k

نگارها	خوش		خطا		F	Sig.
	Mean Square	df	Mean Square	df		
CALI	۵۳/۴۰	۴	۲/۱۲	۲۲/۸۳	۲۵/۲۰	.۰۰۰
DT	۴۳۸۴/۷۲	۴	۲۶/۷۸	۲۲/۸۳	۱۶۳/۷۳	.۰۰۰
GR	۳۲۵۳۹۲/۷۹	۴	۱۴۶/۴۹	۲۲/۸۳	۲۲۲۱/۳۴	.۰۰۰
LLD	۹۷۸۱۸/۱۳	۴	۵۹/۷۰	۲۲/۸۳	۱۶۳۸/۴۸	.۰۰۰
LLS	۵۳۵۸۲/۲۳	۴	۳۵/۷۴	۲۲/۸۳	۱۴۹۹/۳۷	.۰۰۰
MSFL	۳۵/۳۰	۴	۰/۲۶	۲۲/۸۳	۱۳۳/۸۷	.۰۰۰
NPHI	.۰/۶۲	۴	۰/۰۰	۲۲/۸۳	۳۱۱/۷۹	.۰۰۰
POTA	۱۵۱/۵۹	۴	۰/۴۴	۲۲/۸۳	۳۴۷/۴۷	.۰۰۰
RHOB	۷/۶۴	۴	۰/۰۳	۲۲/۸۳	۲۷۰/۶۴	.۰۰۰
THOR	۳۸۷۰/۷۹	۴	۵/۳۶	۲۲/۸۳	۷۲۱/۹۲	.۰۰۰
URAN	۷۵/۹۵	۴	۰/۸۹	۲۲/۸۳	۱۱۰/۳۶	.۰۰۰

جدول ۶: توزیع داده‌ها در خوش‌های نهایی

خوش‌های	تعداد داده‌ها		درصد داده‌ها
	۱	۴۵۱	
۲	۷۴۹	۳۲/۷	
۳	۱۰۸۸	۴۷/۶	
ترکیب شده	۲۲۸۸	۱۰۰	
کلی	۲۲۸۸		

ANOVA



شکل ۷: نمودارهای میله‌ای تاثیر نگارهای در جدول ANOVA

خوش بیانگر این مطلب است که بیشترین تجمع کانی‌های رسی در این خوش قرار دارد. از طرفی این خوش بیشترین

خوش شماره دو: حدود ۳۳ درصد داده‌ها (جدول ۶) در این خوش قرار دارند. میزان پرتوزایی بسیار بالا در این

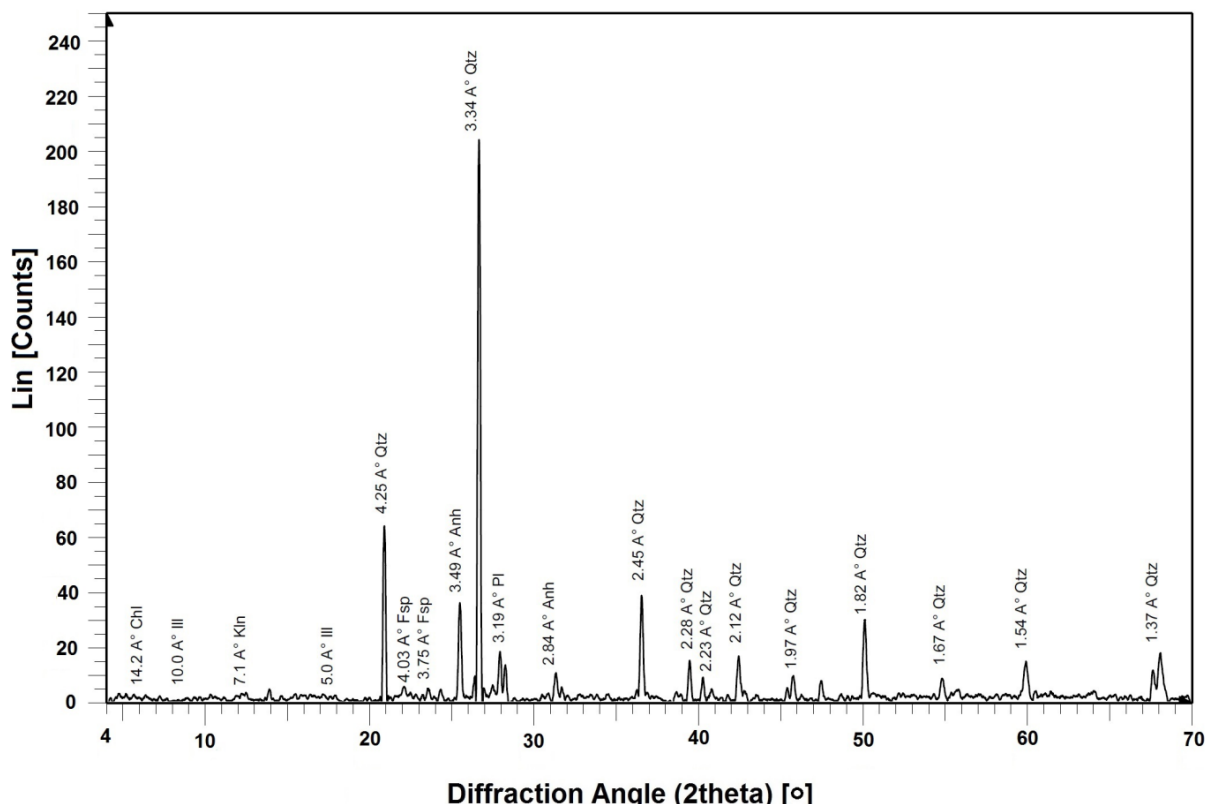
پایین، با حضور آب شور در این خوشة قابل توجیه است. ضخامت این بخش به طور تقریبی $10\frac{4}{3} \text{ متر}$ است.

۱-۴- اعتبارسنجی نتایج حاصل

به منظور اعتبارسنجی یافته‌های به دست آمده، سه نمونه مغزه متناظر با اعمق خوشه‌های یک تا سه خوشه‌بندی به روش میانگین k ، که در مورد آنالیز کانی‌شناسی نیمه کمی به روش پراش پرتوی ایکس (XRD) قرار گرفت (جدول ۷ و شکل ۸).

جدول ۷: نتایج نیمه کمی آنالیز پراش پرتوی ایکس نمونه‌های متناظر با خوشه‌های روش میانگین k

هماتیت (%)	ترکیب کانی‌شناسی و درصد نیمه کمی هر فاز					کد نمونه	خوشه متناظر
	فلدسپارهای قلیایی و پلاژیوکلازها (%)	انیدریت (%)	کانی‌های رسی (%)	کربنات‌ها (%)	کوارتز (%)		
۱/۵	۳/۵	۱۸/۲	۱۱/۰	۲۵/۲	۴۰/۶	۱	۲۰۳
۲/۳	۱۷/۵	۵/۰	۲۱/۰	۴/۰	۵۰/۲	۲	۲۰۴
--	۱۰/۴	۱۱/۸	۶/۰	---	۷۱/۸	۳	۲۰۵



شکل ۸: نمودار پراش پرتوی ایکس نمونه متناظر با عمق خوشه سوم به روش خوشه‌بندی میانگین k

همانطور که از نتایج جدول ۷ مشخص است، خوشه اول نماینده نمونه‌هایی ماسه‌سنگی با میزان کربنات بالا، رس متوفط و انیدریت زیاد می‌باشد که با نتیجه حاصل از خوشه‌بندی به روش میانگین k همخوانی بسیار خوبی دارد.

تخلخل را داشته و چگالی و مقاومت پایینی نیز دارد. پس با توجه به مشاهدات، جنس این خوشه، رس بالا به همراه ماسه در نظر گرفته شد. ضخامت این بخش به طور تقریبی $73/26$ متر است.

خوشه شماره سه: حدود 47% داده‌ها (جدول ۶) در این خوشه قرار دارند و حدود چگالی، تخلخل متوفط و مقاومت پایین، همگی بیانگر حضور غالب ماسه در این خوشه می‌باشد. از طرفی میزان کم پرتوزایی حاکی از کمبود رس و تمیز بودن این ناحیه است. در ضمن مقاومت بسیار

جدول ۷: نتایج نیمه کمی آنالیز پراش پرتوی ایکس نمونه‌های متناظر با خوشه‌های روش میانگین k

دستگاه مورد استفاده در این پژوهش، پراش‌سنج مدل D8-Advance با سرعت زاویه‌ای پیمایش $1/2$ درجه در هر دقیقه بوده است. از طول موج $K_{\alpha}=1.5406\text{\AA}$ تشعشع مس برای نمودارگیری استفاده شده است.

۵- نتیجه‌گیری

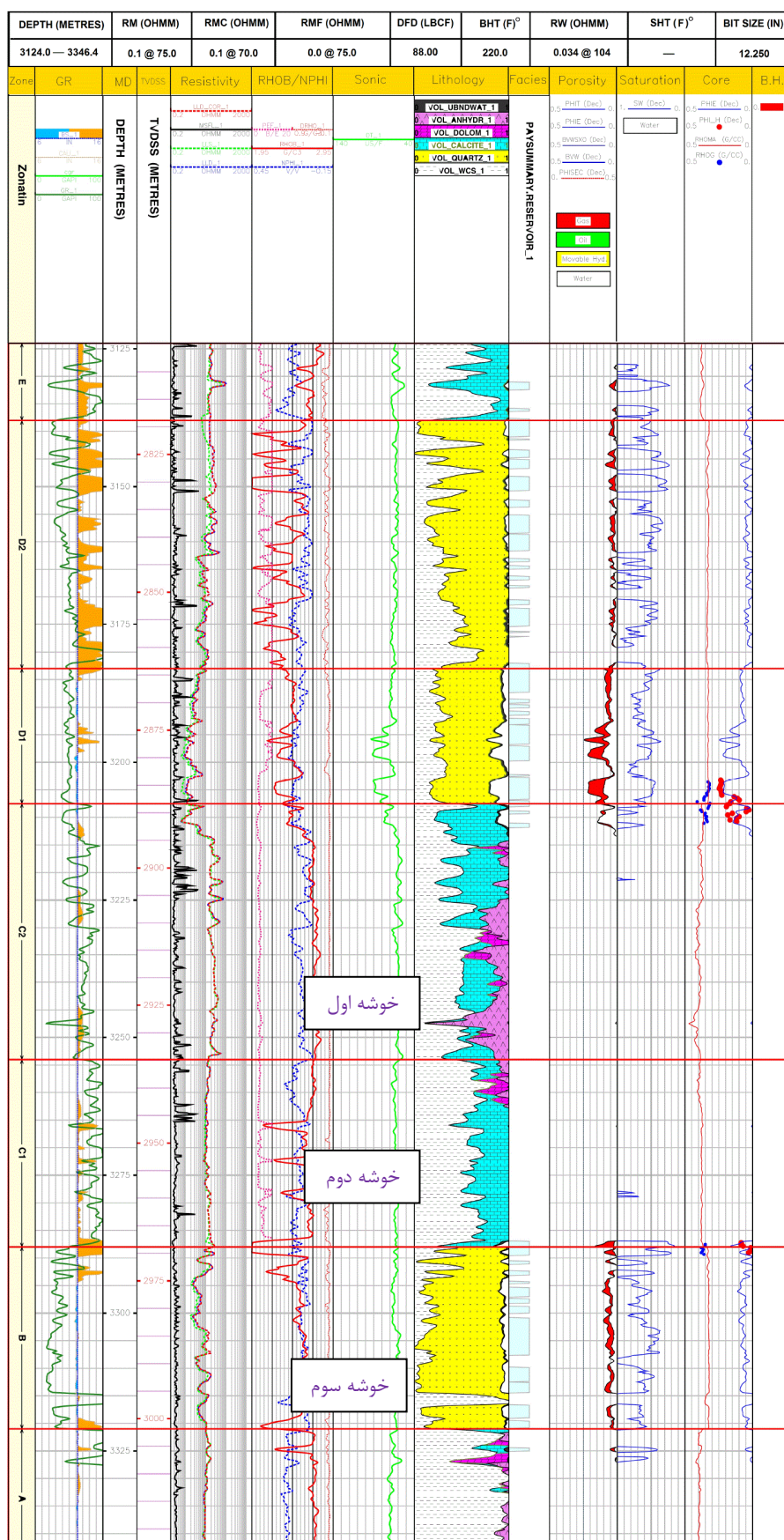
در این پژوهش، کاربردی‌ترین نگارهای الکتریکی در تعیین گونه‌های سنگی یکی از چاههای هیدرولیکی دو حوضه کپه‌داغ شرقی با استفاده از روش خوشبندی دو مرحله‌ای و میانگین k_a ، تعیین و معرفی شد. براساس نتایج GR, LLD, LLS, NPHI, RHOB موثرترین نگارهای نگارهای آن دو مرحله‌ای به منظور تفکیک گونه‌های سنگی سازند شوریجه و محیط‌های تخریبی معرفی شدند. براساس نتایج خوشبندی، سازند ماسه‌سنگی به ضخامت ۲۲۲ متر به سه گروه سنگ‌شناسی شامل ماسه کربناتی-انیدریتی، ماسه شیلی و ماسه تمیز به ترتیب با ضخامت‌های $44/4$ ، $73/26$ و $104/34$ متر تشخیص داده شد که در این میان کیفیت مخزنی ماسه تمیز با توجه به میانگین تخلخل (۱۰ V/V) در این بخش از سایر زیربخش‌ها مناسب‌تر است. خوشه شماره یک با داشتن حدود ۲۰٪ داده‌ها، تخلخل کم و مقاومت بالای آن، نشان از حضور ترکیبی متراکم و سخت دارد (احتمالاً کربنات‌ها و انیدریت). خوشه شماره دو با داشتن حدود ۳۳٪ داده‌ها و میزان پرتوزایی بسیار بالا موید حضور کانی‌های رسی و ماسه است. خوشه شماره سه با داشتن حدود ۴۷٪ داده‌ها و حدود چگالی، تخلخل متوسط و مقاومت پایین، همگی بیانگر حضور غالب ماسه در این خوشه می‌باشد. از طرفی میزان کم پرتوزایی حاکی از کمبود رس و تمیز بودن این ناحیه است. در ضمن مقاومت بسیار پایین، با حضور آب شور در این خوشه قابل توجیه است. هر دو روش خوشبندی، تطابق قابل قبولی با روش‌های تعیین سنگ‌شناسی با استفاده از تلفیق نگارهای پتروفیزیکی و کانی‌شناسی به روش پراش پرتوی ایکس (XRD) نشان دادند.

با توجه به نتایج حاصل از این پژوهش می‌توان گفت روش خوشبندی با استفاده از نگارهای مناسب، می‌تواند گامی موثر برای تعیین سنگ‌شناسی با دقت بالا در مخازن باشد، به ویژه در اعمقی که مغزه‌گیری نشده است.

صرفاً وجود هماتیت، فلدسپارهای قلیایی و پلاژیوکلازها توسط خوشبندی نگارها پیش‌بینی نشده است که البته این کانی‌ها مجموعاً ۵ درصد وزنی نمونه را تشکیل می‌دهند. همچنین نتایج جدول نشان می‌دهد که خوشه دوم نماینده نمونه‌های ماسه‌سنگی با بیشترین میزان رس است، اگرچه که سایر تشکیل دهنده‌های این نمونه توسط روش خوشبندی شناخته نشده است. با توجه به شکل ۸، آنالیز نمونه مغزه خوشه سوم نشان دهد به بخش تمیز مخزن با حداکثر میزان ماسه و حداقل میزان رس است. این بخش با داشتن ضخامت حداکثری در بین سایر خوشه‌ها نشان دهنده کیفیت بالای مخزن در این قسمت است.

تحلیل پتروفیزیکی با استفاده از تلفیق داده‌های کلیه نگارها در نرم افزار ژئولاگ نسخه ۶/۶ انجام شد (شکل ۹). اعماق متناظر با سه خوشه حاصل از روش خوشبندی دو مرحله‌ای با استفاده از تلفیق نگارها در تحلیل‌های پتروفیزیکی به ترتیب دال بر حضور کربنات و انیدریت در ماسه شیلی (اعمق متناظر با خوشه شماره یک)، رس بسیار زیاد و کربنات (خوشه شماره دو) و نهایتاً ماسه تمیز (خوشه شماره سه) داشت که تطابق زیادی با یافته‌های حاصل از به کار بستن روش‌های خوشبندی داشته است. تنها مورد عدم تطابق یافته‌های حاصل از تلفیق نگارهای پتروفیزیکی و روش خوشبندی در خوشه شماره دو دیده می‌شود که بر مبنای تلفیق نگارهای پتروفیزیکی این اعماق از رس بسیار زیاد و کربنات تشکیل شده است، اما روش خوشبندی و آنالیز مغزه هر دو حکم بر وجود ماسه و رس بسیار زیاد در این اعماق نموده‌اند که به نظر می‌رسد به دلیل تطابق خوشبندی با نتایج آنالیز مغزه و اصل اصالت یافته‌های آزمایشگاهی، تلفیق نگارهای پتروفیزیکی در این قسمت دچار خطأ بوده است و همین امر لزوم استفاده از روش‌های خوشبندی را در مطالعات پتروفیزیکی مخازن دوچندان می‌نماید.

نتایج این تحقیق نشان داد، می‌توان از نگارهای GR, LLD, LLS, NPHI, RHOB و روش‌های خوشبندی دو مرحله‌ای و میانگین k_a با اطمینان برای تعیین گونه‌های سنگی در مخازن ماسه شیلی مشابه سازند شوریجه استفاده نمود.



شکل ۹: تحلیل پتروفیزیکی با استفاده از تلفیق داده‌های کلیه نگارها به منظور اعتبارسنجی نتایج خواهه‌بندی

conference, Ministry of petroleum, Tehran (In Persian).

[9] Yang, H., Pan, H., Ma, H., Konaté, A. A., Yao, J., & Guo, B. (2016). Performance of the synergistic wavelet transform and modified K-means clustering in lithology classification using nuclear log. Journal of Petroleum Science and Engineering, 144, 1-9.

[10] WANG, Z. W., LIU, J. H., & REN, L. (2009). The Method for Lithology Classification in Geophysical Well Logging Based on the K-means Dynamic Clustering Analysis [J]. Journal of East China Institute of Technology (Natural Science), 2.

[11] Mahmoodi, O., & Smith, R. (2015). Clustering of downhole physical property measurements at the Victoria property, Sudbury for the purpose of extracting lithological information. Journal of Applied Geophysics, 118, 145-154.

[12] Wang, X., Yang, S., Zhao, Y., & Wang, Y. (2018). Lithology identification using an optimized KNN clustering method based on entropy-weighted cosine distance in Mesozoic strata of Gaoqing field, Jiayang depression. Journal of Petroleum Science and Engineering, 166, 157-174.

[13] Nabi Bidhendi, M., and Esmaeili Abdar, MA. (2001). The porosity estimation on the velocity of compressional waves considering the clay effect in the shaly sandstone Formation of Shurijeh. Journal of Earth and Space Physics, 27(20), 25-29 (In Persian).

[14] Jozanikohan, G. (2017). On the development of a non-linear calibration relationship for the purpose of clay content estimation from the natural gamma ray log. International Journal of Geo-Engineering, 8(1), 1-21.

[15] Afshar Harb, A. (1994). The geology of Iran: the geology of Kopet Dagh region. The geological survey of Iran publication press (In Persian).

[16] NIOC (Exploration Directorate) well completion report, (1986). Gonbadli geological well completion report. National Iranian Oil Company records, Tehran, Iran (In Persian).

[17] Jozanikohan, G., Norouzih Gh.H, Sahabi, F., and Ojani, H. (2016). Comparison between the laboratory and petrophysical-derived methods to identify the clay minerals in an eastern Kopet-Dagh gas field", Iranian Journal of Mining Engineering, 11 (30): 1-11 (In Persian).

[18] Habibpour Gatabi, K., and Safari Shali, R. (2009). The handbook of SPSS software applications in surveying researches: the quantitative data analysis. Motefakeran publication, Tehran, Iran (In Persian).

۶- تشکر و قدردانی

نویسنده‌گان مایلند مراتب سپاس خود را به آزمایشگاه اشعه ایکس، دانشکده مهندسی معدن، پردیس دانشکده‌های فنی، دانشگاه تهران به جهت انجام آنالیزهای صحیح و دقیق دستگاهی استفاده شده در این تحقیق ابراز دارند.

منابع

- [1] Chehrazi, A. and Rezaei, MR. (2006). Basics of acquisition and interpretation of well logs. University of Tehran publication press (In Persian).
- [2] Alizadeh, S. (2011) Data mining (Clustering analysis). Khajehnasirodin Toosi University publication press (In Persian).
- [3] Kadkhodaei-Illkchi, A., Rezaei, MR., Moalemi, SA., and Sheikhzadeh A. (2005). The estimation of rock types and permeability in South Pars gas field, using clustering technique and fuzzy modelin. The 9th Symposium of Geological Society of Iran, Tarbiat Moalem University, Tehran, Iran (In Persian).
- [4] Hemmati Nik, H.R., Nazarifard, M., and Tabatabaie raesi, S.H. (2016). The determination of electro-facies using clustering methods in one of carbonate reservoirs of southern Iran. Academic-Research Journal of Exploration and Production Oil and Gas, 137(8): 67-77 (In Persian).
- [5] Sfidari, E., Kadkhodaie-Illkchi, A., & Najjari, S. (2012). Comparison of intelligent and statistical clustering approaches to predicting total organic carbon using intelligent systems. Journal of Petroleum Science and Engineering, 86, 190-205.
- [6] Kiaei, H., Sharghi, Y., Ilkchi, A. K., & Naderi, M. (2015). 3D modeling of reservoir electrofacies using integration clustering and geostatistic method in central field of Persian Gulf. Journal of Petroleum Science and Engineering, 135, 152-160.
- [7] Sfidari, E., Amini, A., Kadkhodaie, A., & Ahmadi, B. (2012). Electrofacies clustering and a hybrid intelligent based method for porosity and permeability prediction in the South Pars Gas Field, Persian Gulf. Geopersia, 2(2), 11-23.
- [8] Khoshbakht F., and Bagheri H. (2015). The determination of the boundary of sedimentary bases using blocking algorithm and applying the FMI diagram to verify and use it in order to improve the accuracy of petrophysical reservoir parameters. The third international petroleum, gas, and petrochemical